

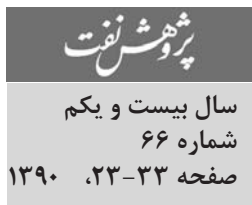
مطالعه ویژگی‌های ژئوشیمیایی هیدروکربن‌های مخازن ایلام و سروک در میادین مارون و کوپال

محمد رضا کمالی^۱، محمود معماریانی^۱ و هانیه جعفری درگاهی^{*۲}

- پژوهشگاه صنعت نفت، پژوهشکده اکتشاف و تولید

- دانشگاه آزاد واحد علوم تحقیقات، گروه زمین شناسی

Haniehjafary@yahoo.com



موجود در مخزن ایلام واقع در میدان نفتی مارون، مشابه نفت‌های پارافینیک متمایل به نفتینیک می‌باشد. همچنین هیدروکربور موجود در مخزن ایلام در میدان نفتی کوپال خصوصیات نفت‌های آروماتیک را دارا است. بررسی‌های ژئوشیمیایی نشان می‌دهد که هیدروکربن‌های تجمع یافته در مخازن یاد شده، از سنگ منشأهای کربناته، در شرایط احیایی تا نیمه احیایی زایش یافته‌اند. کروزن سنگ منشاء احتمالی از نوع II و مخلوطی از نوع II و III می‌باشد، که بیان‌گر وجود مواد آلی با منشاء دریایی و مقادیر جزئی مواد آلی حمل شده از خشکی است. بررسی پارامترهای بلوغ بیومارکر، حاکی از بلوغی متوسط در حد اوایل تا اواسط پنجره نفت زایی برای مواد آلی تولید کننده نفت‌های تجمع یافته در این میدان می‌باشد.

واژه‌های کلیدی: ژئوشیمی مخزن، سازند ایلام، سازند سروک، میدان مارون و کوپال، ترکیب نفت، بیومارکر

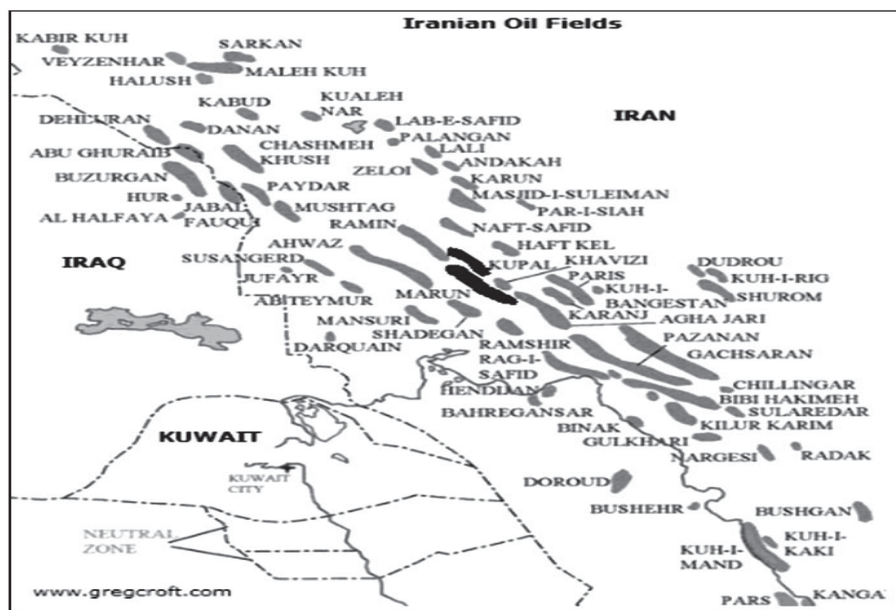
چکیده

میدین نفتی مارون و کوپال از جمله میدین‌بزرگ واقع در ناحیه فراافتادگی دزفول است که در جنوب شرقی شهر اهواز در مجاورت میدان‌های نفتی آغازاری و اهواز قرار گرفته است. سازندهای ایلام، سروک و آسماری، مخازن هیدروکربنی این دو میدان می‌باشند. به‌منظور بررسی خصوصیات ژئوشیمیایی، نمونه نفت‌های مخازن ایلام و سروک در میدین مورد مطالعه با استفاده از تکنیک‌های ژئوشیمیایی متداول نظیر تست SARA، تکنیک کروماتوگرافی گازی (GC) و کروماتوگرافی گازی-طیف سنجی جرمی (MS-GC) تحت آنالیز قرار گرفتند. با توجه به نتایج آنالیزها که شامل توزیع برش‌های هیدروکربنی تشکیل دهنده این نفت‌ها (تست SARA) و همچنین مطالعه بیومارکرهای خانواده ترپان‌ها و استران‌های تخلیص شده از برش اشباع می‌شود، می‌توان گفت هیدروکربن‌های موجود در مخزن سروک در هر دو میدان مورد مطالعه، خصوصیات نفت‌های پارافینیک را نشان می‌دهد. در صورتی که ویژگی‌های هیدروکربور

۶۵ km طول و به طور متوسط ۷ km عرض دارد. نفت این میدان در سازند آسماری و گروه بنگستان قرار گرفته که ذخایر قابل بازیافت آن ۹/۵ میلیارد بشکه و ذخایر گاز آن حدود ۴۵ تریلیون فوت مکعب برآورد شده است. نفت میدان مارون در گروه بنگستان، ۱/۶٪ وزنی گوگرد دارد و درجه API آن ۳۱/۱ می باشد [۲]. میدان نفتی کوپال در ناحیه دزفول شمالی به صورت تاقدیسی کشیده و تقریباً متقارن در حدود ۶۰ کیلومتری شرق-شمال شرق اهواز قرار دارد (شکل ۱). بلندی اصلی میدان در غرب قرار گرفته است و بر روی سطح تماس آب و نفت خود دارای ۴۰ km طول و ۴ عرض می باشد. بلندی بخش شرقی با تنها یک چاه (کوپال ۲)، حدود ۸ km طول و ۱/۵ km عرض داشته و ستون نفت کمتری در خود جای داده است. ذخایر نفت میدان کوپال حدود ۱/۱ میلیارد بشکه و ذخایر گاز آن ۵/۵ تریلیون فوت مکعب برآورد می شود. نفت خام کوپال با درجه ۲۷/۶ API در گروه بنگستان، ۲٪ وزنی گوگرد دارد [۳]. سنگهای مخزنی مورد مطالعه میادین مارون و کوپال، سازندهای ایلام و سروک است که غالباً دارای لیتولوژی کربناته هستند. هدف از انجام این تحقیق، مطالعه ویژگی های شیمیایی نفت میادین مورد مطالعه، تعیین شرایط رسوب گذاری، لیتولوژی سنگ منشاء احتمالی مولد آنها و همچنین شناسایی نوع و درجه بلوغ مواد آلی مولد نفت است.

مقدمه

کمربند کوهستانی زاگرس، یکی از بهترین کمربندهای تراست چین خورده در معرض دید در جهان است. دامنه زاگرس، از یک سیستم آنتی کلین برآمده بزرگ مقیاس که در نتیجه کوهزایی اواخر میوسن تا پلیوسن تشکیل شده است و شامل دو منطقه بالا آمده لرستان به شمال و فارس به جنوب می باشد. در این بین ۵۰/۰۰۰ km منطقه فشرده شده وجود دارد که به عنوان فروافتادگی دزفول شناخته می شود. فروافتادگی دزفول، به علت وجود لایه های رسوبی ضخیم و دارا بودن سنگهای منشاء مستعد (کژدمی و پابده)، سنگ مخزن (ایلام، سروک و آسماری) و پوش سنگ مناسب (گچساران)، گسترش ناحیه ای و موقعیت استراتژیک، یکی از اقتصادی ترین حوضه های هیدرولکریوری ایران به شمار می رود. شباهت انواع نفت خام در فروافتادگی دزفول از سبک تا سنگین، میان وجود ارتباط بین نفت موجود در مخازن واقع در میدان های نفتی در این ناحیه می باشد [۱]. ارزیابی ژئوشیمیایی هیدرولکرین های موجود در مخازن میادین این ناحیه و تعیین خصوصیات آنها و همچنین تعیین ارتباط احتمالی از طریق آنالیزهای ژئوشیمیایی، اطلاعات با ارزشی جهت تعیین انطباق نفت با نفت و نفت با سنگ منشاء به منظور دست یابی به روند کلی توزیع نفت در حوضه فروافتادگی دزفول در اختیار ما قرار می دهد. میدان نفتی مارون حدود



شکل ۱- موقعیت میادین مارون و کوپال در فروافتادگی دزفول

ایلام و سروک با استفاده از تکنیک کروماتوگرافی ستونی (تست SARA) تفکیک شدند (جدول ۱). مقایسه نتایج به دست آمده از درصدهای مختلف تفکیک برش‌های هیدروکربنی حاصل از استخراج بیتومن از سنگ منشاء احتمالی ایلام و سروک در شکل ۲، نشان می‌دهد که روند تغییرات مقادیر برش‌های SARA برای سازندهای ایلام و سروک در هر چهار چاه (مارون ۲۲۴، مارون ۲۲۵، کوپال ۲۶ و کوپال ۲۷)، نسبتاً به صورت همگن و هماهنگ با یکدیگر می‌باشد. نمودار توزیع درصد برش‌های هیدروکربنی که در شکل ۲ رسم شده، نشان می‌دهد که نفت دو مخزن از الگوی تقریباً مشابهی پیروی می‌کند اولین تفاوت برش‌های هیدروکربنی مربوط به برش آروماتیک است که مقدار آن برای نمونه نفت مخزن ایلام در میدان نفتی کوپال نسبت به نمونه نفت مخازن ایلام و سروک در میدان نفتی مارون و مخزن سروک در میدان نفتی کوپال بیشتر است. تفاوت دیگر مربوط به برش آسفالت است که مقدار آن در نمونه نفت سروک در میدان نفتی مارون از سایر نمونه نفت‌های مورد مطالعه بیشتر است. دامنه تغییرات برش رزین در هر دو سازند کم و بیش مشابه بوده و تفاوت چندانی بین چهار چاه مورد مطالعه مشاهده نمی‌شود. به طور کلی شباهت‌ها در این نمودار بیشتر از تفاوت‌ها می‌باشد. این تفاوت‌ها را نیز می‌توان مربوط به منشاء این نفت‌ها و یا مرتبط با تغییرات ثانویه‌ای دانست که هیدروکربور در مخزن متholm شده است [۶].

با تلفیق مقادیر آسفالت و رزین به عنوان برش ترکیبات قطبی و استفاده از برش هیدروکربن‌های اشباع و آروماتیک هر دو سازند، می‌توان به چگونگی توزیع نمونه‌ها از نقطه نظر کیفیت نفت‌ها پی برد. برای این منظور دیاگرام مثلثی [۷] برای هیدروکربن‌های هر دو سازند مخزنی ترسیم گردید.

جدول ۱- نتایج تست SARA برای نمونه نفت‌های مخازن ایلام و سروک

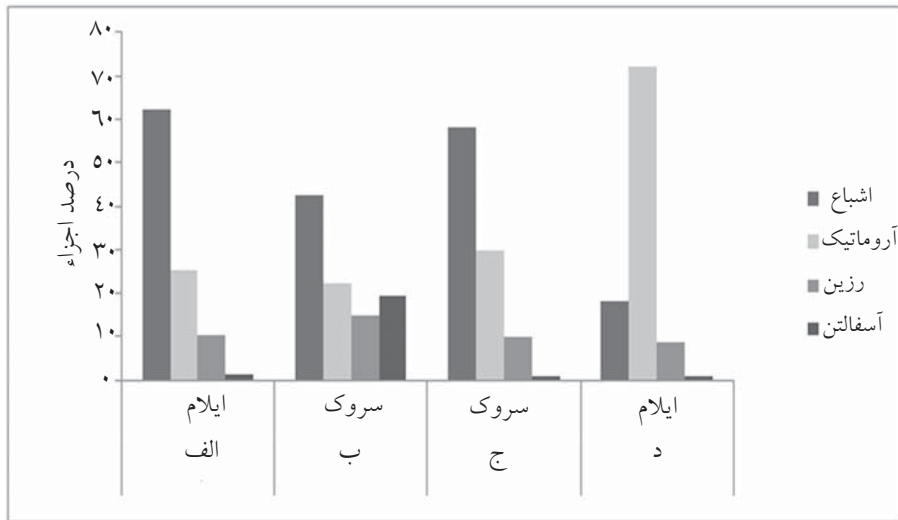
آسفالت	رزین	آروماتیک	اشباع	مخزن	شماره نمونه	شماره چاه
۱/۳۴	۱۰/۵۴	۲۵/۱۲	۶۲/۳	ایلام	A	مارون #۲۲۴
۱۹/۴۵	۱۴/۹۲	۲۲/۴۴	۴۲/۶۲	سروک	B	مارون #۲۲۵
۱/۱۱	۱۰/۱۴	۲۹/۷۴	۵۸/۱۲	سروک	C	کوپال #۲۶
۰/۷۹	۸/۷۶	۷۲/۰۷	۱۸/۱۷	ایلام	D	کوپال #۲۷

روش تحقیق

به منظور انجام مطالعات ژئوشیمیایی بر روی نفت مخازن ایلام و سروک میادین مورد مطالعه، ابتدا نفت استحصالی هر دو مخزن آماده‌سازی گردید. برای این کار در ابتدا فرایند آسفالت‌گیری با حلال پتان نرمال انجام شد و سپس، توسط تکنیک کروماتوگرافی ستونی با فاز ساکن آلومینا و یا سیلیکاژل و همچنین با استفاده از حلال‌های نرمال هگزان، بنزن و اتانول، برش‌های هیدروکربنی نفت‌ها تفکیک شده و درصد آنها مشخص گردید. پس از تهیه برش‌های مختلف هیدروکربنی از نمونه‌ها (۲ نمونه از مخزن ایلام و ۲ نمونه از مخزن سروک هر دو مخزن واقع در میادین نفتی مارون و کوپال)، برش حاوی ترکیبات اشباع توسط تکنیک کروماتوگرافی گازی در پژوهشگاه صنعت نفت تحت آزمایش قرار گرفت. برش‌های اشباع از بیتومن استحصالی هم‌زمان با آنالیز کروماتوگرافی گازی، تحت آنالیز کروماتوگرافی گازی-طیف سنجی جرمی نیز قرار گرفت. با استفاده از این ابزار می‌توان بیومارکرهای استرانها و هویانها را مورد مطالعه قرار داد. از این روش به منظور تعیین شاخص محیط‌های رسوبی، تعیین درجه پختگی مواد آلی، نفت و شناسایی تخریب میکروبی بهره می‌گیرند [۴]. تکنیک کروماتوگرافی گازی-طیف سنجی جرمی همچنین اطلاعات ارزشمندی در رابطه با بیومارکرهای در اختیار ما قرار می‌دهد که برای تفسیر شرایط محیط رسوب‌گذاری، منشاء، نوع و میزان بلوغ مواد آلی و تطابق نفت با نفت و تطابق نفت با سنگ منشاء مناسب است [۵].

بحث

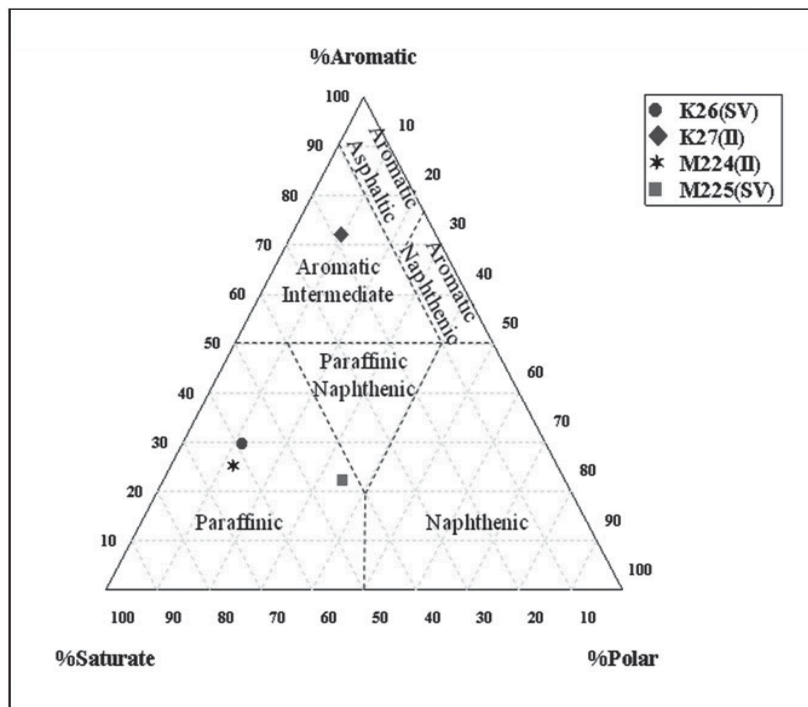
به منظور بررسی و تشخیص تشابهات و تفاوت‌ها در خصوصیات هیدروکربنی موجود در مخازن واقع در میادین تحت مطالعه، نمونه نفت‌های دو مخزن



شکل ۲- مقایسه درصد اجزاء SARA در نمونه‌های نفت مخازن مورد مطالعه

نشان می‌دهد. نفت مخزن سروک در میدان نفتی کوپال همانند مخزن سروک در میدان مارون، دارای خصوصیات نفت‌های پارافینیک می‌باشد. برخلاف مخزن ایلام واقع در میدان مارون، هیدروکربن‌های این مخزن در میدان کوپال خصوصیات نفت‌های آروماتیک حد واسط را نشان می‌دهد. ویژگی آروماتیکی بودن این نفت، در توزیع مقادیر برش‌های SARA در شکل ۲ چاه د نیز مشاهده می‌گردد.

با توجه به محدوده قرارگیری نمونه‌های مورد مطالعه (شکل ۳)، می‌توان برای نمونه نفت‌های مخازن ایلام و سروک در میدان نفتی مارون از نوع پارافینیک نسبت داد. شایان ذکر است نفت مخزن سروک واقع در میدان نفتی مارون، خصوصیات شیمیابی یکسانی به واسطه بیشتر بودن مقادیر برش قطبی و کمتر بودن برش اشباع نسبت به نفت ایلام، اندکی خصوصیات نفت‌های نفتینک را نیز



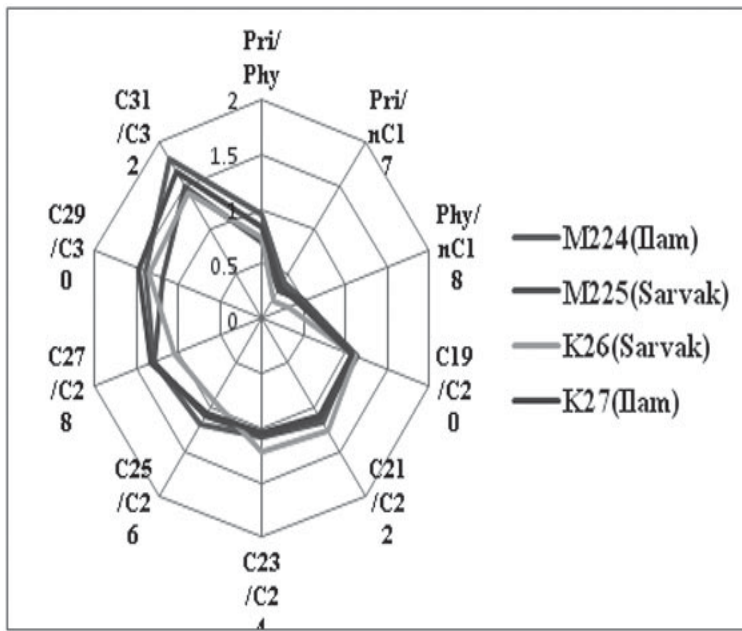
شکل ۳- دیاگرام مثلثی درصد برش‌های تشکیل دهنده هیدروکربن‌های مخازن ایلام و سروک در میدان مورد مطالعه [۷]

پارامترهای کلیدی از بیومارکرهای خانواده استران و هوپان نفت‌های میادین مورد مطالعه در جدول ۳ ارائه شده است. زنجیره جانبی Phytol تحت شرایط احیایی در رسوبات از پورفیرین‌ها جدا شده و فیتول (C₃₀) حاصل می‌شود، فیتول حاصله به دی هیدروفیتول و سپس به فیتان (C₂₀) تبدیل می‌گردد. فیتول تحت شرایط اکسیدی به اسید فیتانیک و سپس با از دست دادن یک مولکول CO₂ به پریستان (C₁₉) تبدیل می‌شود. بنابراین می‌توان از نسبت پریستان به فیتان جهت تشخیص شرایط محیط رسوب‌گذاری سنگ‌های منشاء استفاده کرد [۱۰]. بر طبق تقسیم‌بندی Waples، معمولاً مقادیر Pri/Phy (جدول ۲) کمتر از ۱ نشان‌گر نهشت در محیط رسوبی احیایی می‌باشد [۱۱]. البته این نسبت می‌تواند تحت تأثیر عوامل گوناگونی قرار گیرد [۱۲]. لذا در این پژوهش، برای اطمینان، از سایر پارامترها نیز استفاده گردید. با استفاده از پارامترهای C₁₈, Phy/n-C₁₇, Pri/n-C₁₇، می‌توان خصوصیات مواد آلی موجود در این سازندها را از نقطه نظر نوع کروزن، روند پختگی، فرآیندهای احتمالی دگرسایی و شرایط محیط رسوب‌گذاری مشخص و ارزیابی نمود [۱۳]. ترسیم نمودار تغییرات مقادیر Pri/nC₁₇ در مقابل Phy/nC₁₈ در شکل ۵، بیان‌گر شرایط محیط رسوب‌گذاری احیایی تا نیمه احیایی برای سنگ منشاء احتمالی مولد این نفت‌ها می‌باشد که احتمالاً از کروزن نوع II و مخلوطی از کروزن‌های نوع II و III مشتق شده‌اند.

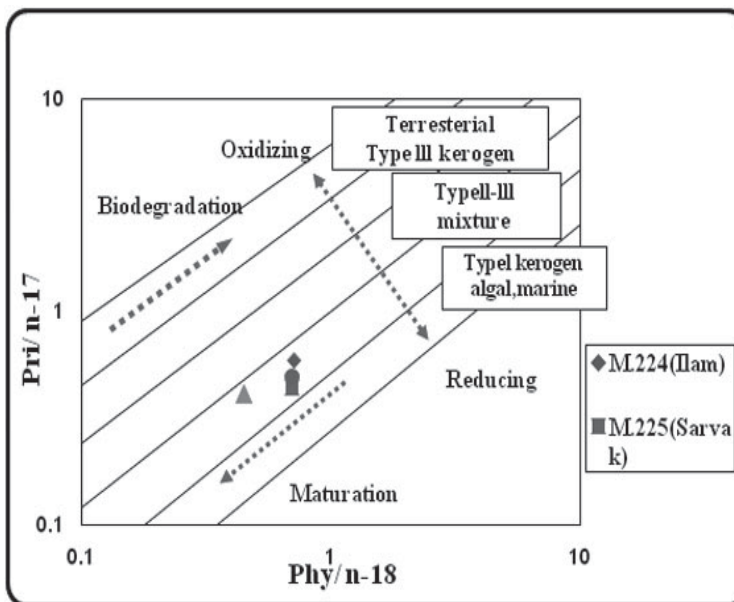
به‌منظور ارزیابی و مطالعه چگونگی توزیع آلkan‌های نرمال و ایزوپرینوئیدهای نمونه نفت‌های مخازن میادین مورد مطالعه، براساس پارامترهای به دست آمده از کروماتوگرام‌های گازی نفت‌هایی که در جدول ۲ ارائه گردید، دیاگرام ستاره‌ای [۸] در شکل ۴ ترسیم گردید. همان‌گونه که از شکل ۴ پیداست، همپوشانی نسبتاً خوبی در مقادیر آلkan‌های نرمال و نسبت‌های ایزوپرینوئیدها برای نفت‌های مورد مطالعه دیده می‌شود. البته اندکی تفاوت جزئی در مقادیر C₂₉/C₃₀, C₂₇/C₂₈ و C₃₁/C₃₂ در مخزن میدان نفتی کوپال مشاهده می‌شود که می‌تواند مربوط به سنگ منشاء این نفت‌ها یا مرتبط با تغییرات ثانویه باشد. در مجموع ارتباط ژنتیکی بین نمونه‌ها به خوبی دیده می‌شود. جهت تشخیص نوع و درجه پختگی ماده آلی، تعیین شرایط محیط رسوبی نهشت سنگ منشاء احتمالی مولد نفت‌های میادین مورد مطالعه و مقایسه نفت‌ها با یکدیگر و با سنگ منشاء، می‌توان از پارامترهای مختلف بیومارکرها استفاده نمود. بیومارکرها می‌توانند الگوی مناسبی در ارزیابی محیط‌های دیرینه باشند [۹]. بیومارکرها را می‌توان به منظور تعیین لیتولوژی، سن و محیط نهشت خاص سنگ منشاء، بلوغ حرارتی سنگ منشاء در طی تولید و همچنین مقدار نسبی نفت تولیدی در برابر گاز تولیدی ماده آلی در کروزن منشاء، به کار برد که چنین داده‌هایی نقش کلیدی در پیش‌بینی مدل‌سازی حوضه بر عهده دارند. مقادیر

جدول ۲- نتایج آنالیز کروماتوگرافی گازی نفت‌های میادین مورد مطالعه

	M224 (یلام)	M225 (سروک)	K26 (سروک)	K27 (یلام)
Pri/Phy	۰/۹	۰/۷	۰/۷	۰/۸
Pri/nC17	۰/۴	۰/۳	۰/۲	۰/۳
Phy/nC18	۰/۵	۰/۵	۰/۳	۰/۴
C19/C20	۱/۱	۱/۱	۱/۱	۱/۱
C21/C22	۱/۲	۱/۱	۱/۳	۱/۱
C23/C24	۱/۱	۱/۱	۱/۲	۱/۰
C25/C26	۱/۲	۱/۱	۰/۹	۱/۱
C27/C28	۱/۳	۱/۳	۱/۰	۱/۳۹
C29/C30	۱/۴	۱/۲	۱/۳	۱/۵
C31/C32	۱/۸	۱/۵	۱/۴	۱/۷



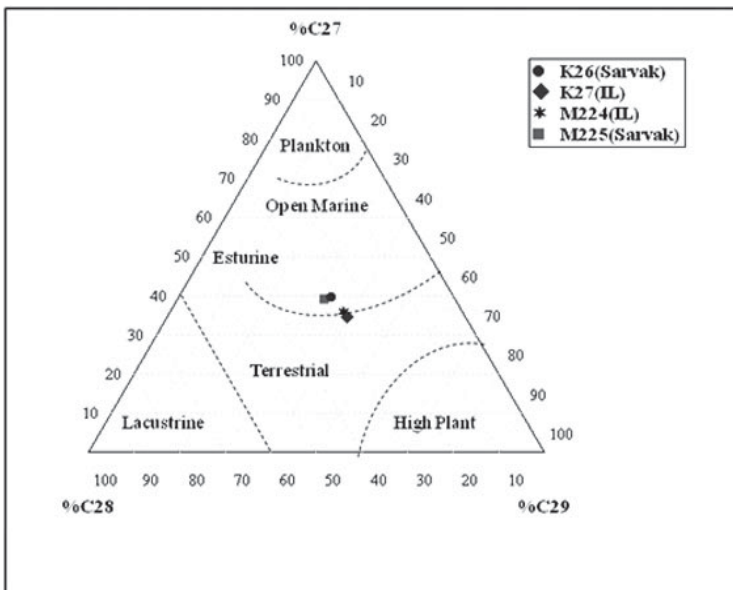
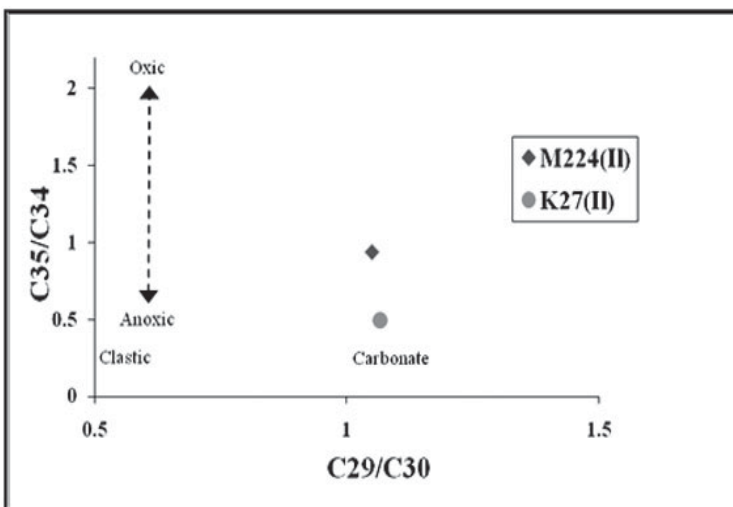
شکل ۴- دیاگرام ستاره‌ای آلکان‌های نرمال و نسبت‌های ایزوپرینوئیدها نمونه نفت‌های مخازن ایلام و سروک



شکل ۵- نمودار تغییرات مقادیر $[13] \text{Phy/n-C}_{18}$ در مقابل Pri/n-C_{17}

قاره‌ای بوده است. با ترسیم مقادیر پارامترهای $\text{C}_{29}/\text{C}_{30}$ در مقابل $\text{C}_{35}/\text{C}_{34}$ [۱۵] از بیومارکرهای هویان‌ها نیز می‌توان وضعیت محیط رسوبی و لیتوژری سنگ منشاء احتمالی را مشخص نمود. ترسیم این نمودار برای داده‌های این پژوهش در شکل ۷، بیان‌گر این مطلب است که لیتوژری سنگ منشاء مولد نفت‌ها، سازندی کربناته با شرایط احیایی تا نیمه احیایی بوده است.

به منظور تعیین منشاء مواد آلی و لیتوژری سنگ مادر مولد احتمالی نفت‌های میادین مورد مطالعه، دیاگرام مثلثی بیومارکرهای استرانهای $\text{C}_{27}, \text{C}_{28}, \text{C}_{29}$ [۱۴] در شکل ۶ رسم گردید. با توجه به دیاگرام مثلثی فوق و نحوه توزیع مقادیر در صد بیومارکرهای استرانی نمونه نفت‌های مورد مطالعه، می‌توان گفت که نفت‌های تجمع یافته در این مخازن غالباً دارای منشاء دریایی با ورود اندکی مواد آلی

شکل ۶- دیاگرام مثلثی مقادیر بیومارکرهای استرانی [۱۴] C_{27} , C_{28} , C_{29} شکل ۷- دیاگرام C_{29}/C_{30} در مقابل C_{35}/C_{34} [۱۵]

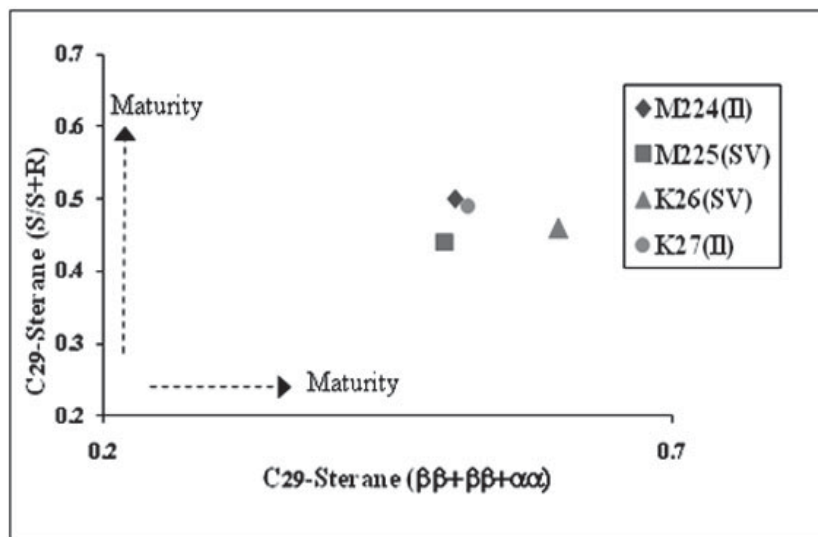
می‌دهد که نفت‌های تجمع یافته در لایه‌های مختلف مخزنی، بلوغی در حد اوایل تا اواسط پنجره نفت‌زایی را دارا هستند.

مقایسه مقادیر پارامترهای بلوغ بیومارکرهای استران $C_{29} [\beta\beta/\beta\beta+\alpha\alpha]$ و هوپان $Ts/Ts+Tm$ نفت‌ها در شکل ۹ نیز حاکی از بلوغی یکسان می‌باشد. وجود اختلاف بین مقادیر این دو پارامتر می‌تواند به دلیل حساسیت زیاد پارامتر $Ts/Ts+Tm$ به کانی‌های رسی باشد. بدین صورت که نفت‌های مشتق شده از سنگ‌های کربناته مقادیر پایین غیرواقعی را نشان می‌دهد [۱۷].

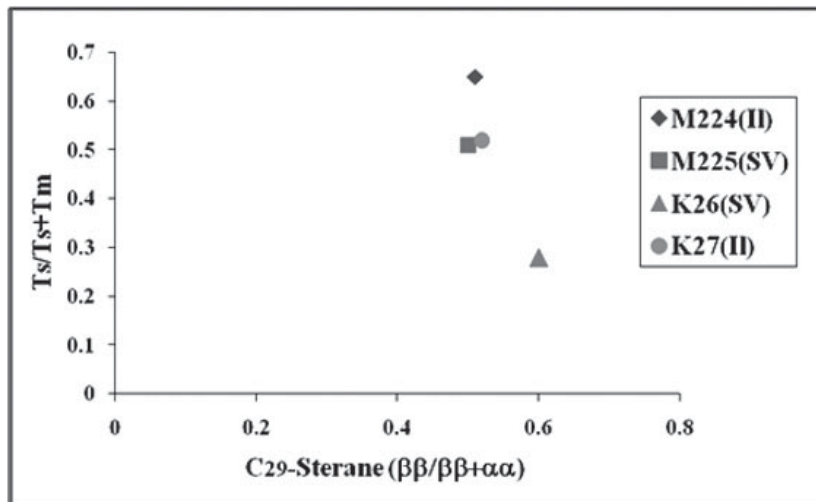
جهت تعیین بلوغ نفت‌های میدانی مورد مطالعه بر اساس پارامترهای بلوغ بیومارکرهای خاص، از آنالیز GC-MS برش اشباع نمونه نفت‌ها استفاده گردید (جدول ۳). بدین منظور مقادیر پارامترهای $C_{29} [20S/20S+20R]$ استران‌ها در برابر $C_{29} [\alpha\alpha/\beta\beta+\alpha\alpha]$ در شکل ۸ و همچنین دیاگرام نسبت‌های $Ts/Ts+Tm$ هوپان در مقابل $C_{29} [\beta\beta/\beta\beta+\alpha\alpha]$ استران نیز در شکل ۹ رسم گردید. با توجه به اینکه با افزایش بلوغ، نسبت استران‌های $[R]$ در $C_{29} [20S/20S+20R]$ برابر $C_{29} [\alpha\alpha/\beta\beta+\alpha\alpha]$ می‌یابد [۱۶]، ترسیم دیاگرام مقادیر نسبت‌های فوق برای میدان مذکور در شکل ۸ نشان

جدول ۳- مقادیر پارامترهای بیومارکرها با استفاده از تکنیک GC-MS

Biomarker Type	M224 (ایلام)	M225 (سروک)	K26 (سروک)	K27 (ایلام)
Ts/Ts+Tm	۰/۶	۰/۵	۰/۶	۰/۵
C ₂₉ /C ₃₀	۱/۰	۰/۹	۲/۱	۱/۷
C ₃₅ /C ₃₄	۰/۹	-	-	۰/۵
C ₃₂ S/S+R	۰/۶	۰/۶	۰/۵	۰/۶
C ₂₉ S/S+R	۰/۵	۰/۴	۰/۵	۰/۵
C ₂₉ ββ/ββ+αα	۰/۵	۰/۵	۰/۶	۰/۵
% C ₂₇	۳۶	۳۹/۳	۴۰	۳۴/۹
% C ₂₈	۲۶	۲۸/۶	۲۶/۷	۲۵/۶
% C ₂₉	۳۸	۳۲/۱	۳۳/۳	۳۹/۵



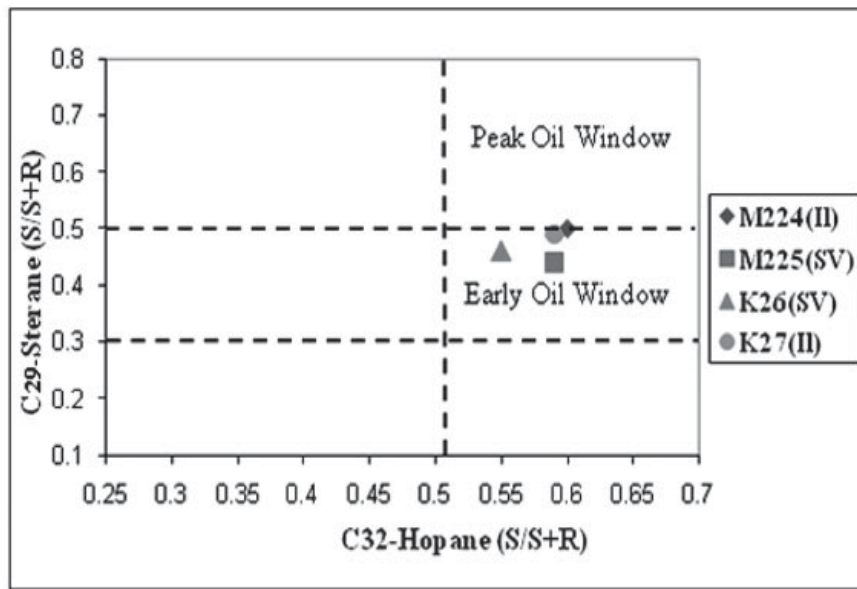
شکل ۸- تعیین بلوغ مواد آلی مخازن مورد مطالعه براساس ترسیم مقادیر پارامترهای [C₂₉ [αα/ββ+αα] / 20S/20S+20R] استرانها در برابر [C₂₉-Sterane (S/S+R)]



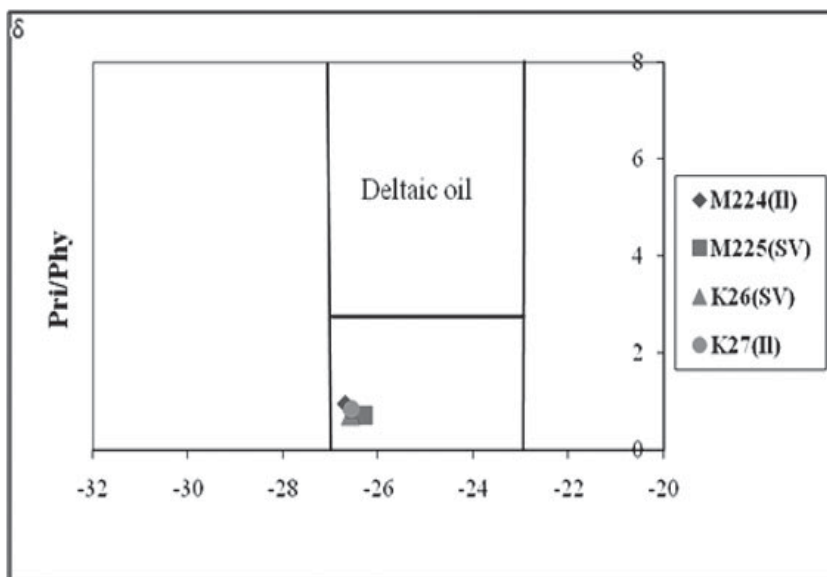
شکل ۹- تعیین بلوغ مواد آلی مخازن مورد مطالعه براساس ترسیم دیاگرام نسبت های Ts/Ts+Tm در مقابل [ββ/ββ+αα] استران C₂₉

جهت تعیین سن و لیتولوژی سنگ منشاء مولد احتمالی از پارامترهای Pri/Phy و ایزوتوپ کربن $\delta^{13}\text{C}$ استفاده گردید [۱۹]. این دیاگرام (شکل ۱۱) میین آن است که سنگ منشاء نفت‌های ایلام و سروک میادین مارون و کوپال، از نوع کربناته و متعلق به دوران مژوزوئیک می‌باشند. ترسیم این دیاگرام در شکل ۱۱ نیز تأیید کننده تفسیر صورت گرفته در مورد لیتولوژی سنگ منشاء مولد نفت‌ها با استفاده از ترسیم دیاگرام C_{35}/C_{34} در برابر C_{29}/C_{30} می‌باشد.

همچنین به منظور بررسی دقیق میزان بلوغ نفت‌ها از نمودار تغییرات $C_{32}\text{-Hopane } 22\text{S}/22\text{S+}22\text{R}$ در مقابل $C_{29}\text{-Sterane } 20\text{S}/20\text{S+}20\text{R}$ [۱۸] توجه به شکل ۱۰ که نشان دهنده محدوده قرارگیری تقریباً یکسان در هر چهار نمونه مورد مطالعه می‌باشد، مشخص می‌شود که این نفت‌ها در حال حاضر بلوغی در حد اوایل تا اواسط پنجره نفت‌زایی را نشان می‌دهند. به طور کلی بررسی پارامترهای مختلف بلوغ، بیان‌گر بلوغی تقریباً یکسان برای نفت‌های مخازن میادین مورد مطالعه می‌باشد.



شکل ۱۰- نمودار تغییرات $C_{29}\text{-Sterane } 20\text{S}/20\text{S+}20\text{R}$ در مقابل $C_{32}\text{-Hopane } 22\text{S}/22\text{S+}22\text{R}$ [۱۸]



شکل ۱۱- نمودار ایزوتوپ کربن $\delta^{13}\text{C}$ در مقابل Pri/Phy [۱۹]

بیومارکرهای تخلیص شده از برش اشباع نمونه نفت‌ها، می‌توان خصوصیات سنگ منشاء کربناته نهشته شده در شرایط احیایی تا نیمه احیایی را به سنگ مادر این نفت‌ها نسبت داد. نتایج مطالعات، نشان‌دهنده این مطلب است که کروزن مولد این نفت‌ها کروزنی از نوع II و مخلوطی از II و III بوده است. مطالعه C_{27} , C_{28} و C_{29} بیومارکرهای استرانی حاکی از منشاء دریایی مواد آلی تولید کننده نفت به همراه ورود اندکی مواد آلی قاره‌ای می‌باشد. از نظر میزان بلوغ، بررسی بیومارکرهای شاخص بلوغ خانواده هوپان‌ها و استران‌ها، معرف بلوغی تقریباً یکسان در حد اوایل تا اواسط پنجره نفت زایی می‌باشد.

نتیجه‌گیری

با توجه به مطالعات ژئوشیمیایی انجام شده بر روی نمونه‌های نفت مخازن ایلام و سروک در میادین مورد مطالعه، می‌توان گفت از نظر غلظت و توزیع مقادیر برش‌های هیدروکربنی (اشباع، آروماتیک، رزین و آسفالتین) نفت هر دو مخزن تقریباً مشابه بوده و به طور کلی الگوی یکسانی دارند. هر چند تفاوت‌های اندکی در میان آنها مشاهده می‌شود. عموماً هیدروکربن‌ها خصوصیات نفت‌های پارافینیک را نشان می‌دهند. نفت مخزن سروک واقع در میدان نفتی مارون، پارافینیک متمایل به نفتیک بوده در حالی که نفت مخزن ایلام واقع در میدان کوپال کاملاً آروماتیک می‌باشد. با توجه به نتایج مطالعات

منابع

- [1] Kermanshahi H. & Memariani M., *Geochemical investigation of oil layer hydrocarbons in South Pars field*, Research Institute of Petroleum Industry, 2009.
- [2] Fajrak M.M., Alizadeh B. & Ghalavand H., *Study of Bangestan formation in Marun oilfield using of chromatography method*, The 26th symposium on Geosciences, Tehran 2007.
- [3] Omidpour A. & Amini A., *Evaluating of diagenesis history and its effect on reservoir qualification of Asmari formation in Kupal oilfield*, Papers summery of 22 symposium on Geoscience, Tehran, Geological Survey of Iran (GSI), pp. 810-812, (2003)
- [4] Bordenave M.L., *Applied petroleum geochemistry*, Edition Technip, Paris, pp. 524, 1993.
- [5] Waples D.W., Biomarker for geologist, *A practical guide to the application of steranes and teriterpanes in petroleum geology*, AAPG Methods in exploration series 9, 1991.
- [6] Kamali M.R. & Ghorbani B., *Organic geochemistry from phytoplankton to oil production*, Arian press, Tehran, 318, 2006.
- [7] Tissot, B.P. & Welte D.H., *Petroleum formation and occurrence*, 2nd Edition. Springer-Verlog. New York, 1984.
- [8] Kaufman R.I., Ahmad A.S. & Elsinger R.J., *Gas chromatography as development and production tools for fingerprinting oils from individual reservoirs: application in the gulf of Mexico*, In: GCSSEPM foundation ninth annual research conference proceedings, pp.263-282, 1990.
- [9] De Leeuw J.W., Frewin N.L., Van Bergen P.F., Sinninghe Damste J.S. & Collinson M.E., "Organic carbon as a paleoenvironmental indicator in marine realm", Geological Society of London. Vol.83, pp. 43-71, (1995)
- [10] Hunt J.M., *Petroleum geochemistry and Geology*, 2nd edition. W.H. Freeman and company, New York. pp. 743, 1996.
- [11] Waples D.W., *Geochemistry in petroleum exploration*, Redial Publish. Cy., Dordrecht, pp. 232, (1985)

- [12] Houghes W.B., Holba A.G. & Dzou LIP., "The ratios of dibenzothiophene to phenanthrene and pristane to phytane as indicator of depositional environment and lithology of petroleum source rock," *Geochemica et Cosmochimia acta*, Vol. 59, pp. 3581-3598, 1995.
- [13] Connan J. & Cassou A.M., "Properties of gases and petroleum liquids derived from terrestrial kerogen at various maturation levels," *Geochemica et Cosmochimica Acta*, Vol. 44, pp.1-23, 1980.
- [14] Huang W.Y. & Meinschein W.G., "Sterol as ecological indicator", *Geochimica et Cosmochimica Acta*, Vol. 43, pp. 739-745, 1979.
- [15] Subroto E.A., Alexander R. & Kagi R.I., "30-Nrhopanes:Their occurrence in sediments and crude oils", *Chemical Geology* ,Vol. 93, pp.179-192, 1991.
- [16] Seifert W.K. & Moldowan J.M., "Use of biological marker in Petroleum exploration.In:(R.B.Johns,ed.), *Methods in Geochemistry and Geophysics*", Vol. 24, pp. 261-290, 1986.
- [17] Mckirdy D.M., Aldridge A.K. & Ypma J.M.A. "Geochemical comparison of some crude oils from Per-Ordoivician carbonate rocks", In: *Advance in Organic Geochemistry*, J.Wiley and Sons, New York, pp. 99-107, 1983.
- [18] Subroto E.A., Alexander R.& Kagi R.I., "The microbial origin of fossil fuels", *Scientific american*. Vol. 251, pp. 44-51, 1984.
- [19] Chung H.M., Rooney M.A., Toon M.B. & Claypool G.E., "Carbon isotope composition of marine crude oils", *AAPG*, Vol. 76, pp.1000-1007, 1992.